

愛媛大学工学部 学生員 ○河原 荘一郎
愛媛大学工学部 正員 室 達朗

1. まえがき 前報¹⁾において、海底の軟弱地盤上を走行する履帶式車輌を想定し、平板載荷試験、ベーン試験履帶モデルのけん引試験から得られたせん断・沈下特性のデータを用いて、エネルギー解析を行ない、最大けん引力を与えるための最適接地圧、およびけん引力とスリップ率の関係等のけん引力特性を求めた。本研究では、現地において平板載荷試験等を行ない、従来のC材に加えてY材についてもエネルギー解析の適用可能とした。

2. エネルギー平衡方程式²⁾ 履帶式車輌の走行時のエネルギー平衡方程式は次式のように表わされる。

$$E_1 = E_2 + E_3 + E_4 + E_5 + E_6 \quad (1) \quad E_1: \text{有効入力エネルギー}, E_2: \text{貫入変形エネルギー}, E_3: \text{スリップエネルギー} - E_4: \text{けん引力エネルギー}, E_5: \text{履帶上部の側面摩擦エネルギー}, E_6: \text{グローサ間の側面摩擦エネルギー}$$

履帶に作用する諸力は図1の通りとする。履板が車体に対して、履帶長Dに相対移動したときの各エネルギーと力の関係は次式のように表わされる。

$$E_1 = D T_1 = D(T_3 + T_6) \quad E_2 = D(1-S)T_2 \quad E_3 = S D T_3 \quad S = 1 - \frac{V}{V'} \quad (2)$$

$$E_4 = D(1-S)T_4 \quad E_5 = D(1-S)T_5 \quad E_6 = S D T_6$$

S: スリップ率, V: 車体の進行速度, V': 履帶の車体に対する移動速度
なお、解析する実車モデルは2トラックのもので、履帶長D = 350 cm, 履帯幅B = 100 cm, グローサ高さH = 1.5 cmとした。

3. 試料土 試料土は、シルト質ロームで、液性限界38.4%, 自然含水比44.9%, $\varphi = 4.36$ 度であった。図2にベーン試験結果を示す。

4. 履帶モデルのけん引試験 図3に示す履帶モデルについて接地圧をかえて試験した結果、沈下量 S_A (cm), スリップ距離L(cm), 接地圧P(kgf/cm²)

$$\text{の間に明らかにされている関係式}^2) \quad S_A = \alpha P^{\nu} + \beta L^m P^n \quad (3)$$

の係数がそれぞれ, $\alpha = 33.9$, $\nu = 1.59$, $\beta = 15.7$, $m = 0.0631$, $n = 0.975$ であった。

5. 試料土のせん断・圧縮特性 E_3 , E_6 の算出にあたって基本となるせん断

変形エネルギー E_v を決定するため、ベーン試験結果を以下のように修正した。履帶モデルと実車モデルの履帶長の比を考えて、図2のYを12倍し、 $Y_f = 44.0$ cm以上では、残留強度 $T_f = 0.0561 \text{ kgf/cm}^2$ を示すものと仮定した。その結果、 $E_v(\text{kgf}\cdot\text{cm}/\text{cm}^2)$ とY(cm)の関係は、

$$Y \leq Y_f \text{ のとき } E_v = C_1 Y^{d_1} \quad Y > Y_f \text{ のとき } E_v = C_2 Y^{d_2} + T_f \quad (4)$$

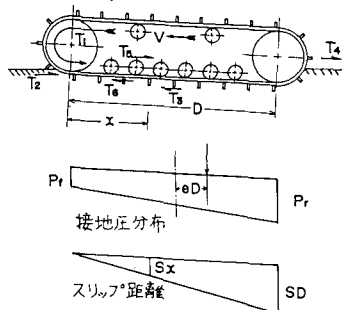
となり、係数はそれぞれ、 $C_1 = 0.000547$, $d_1 = 1.56$, $C_2 = 0.00513$, $d_2 = 1.0$,

$\tau = -0.00281$ であった。さらに、平板載荷試験(Φ7cm)より求めた貫入変位X(cm)と圧縮変形エネルギー $E_p(\text{kgf}\cdot\text{cm}/\text{cm}^2)$ の関係式 $E_p = \alpha X^{\gamma}$

$$(5) \quad (5) \quad E_p = \alpha X^{\gamma}$$

の係数がそれぞれ、 $\alpha = 0.294$, $\gamma = 1.41$ であった。

6. 沈下量の算出 一般にあるけん引力が作用して走行している履帶は偏心



T₁: インジンより履帶に伝達される有効駆動力
T₂: 履帶の進行前面に作用する試料土の圧縮抵抗
T₃: グローサ底部における試料土のせん断抵抗
T₄: けん引力 T₅: 車体に付着した試料土と自然に堆積した試料土との間の摩擦抵抗
T₆: グローサ間にあまれた試料土の摩擦抵抗

図1 履帶式車輌の足廻り部分に作用する諸力、スリップ距離および接地圧分布

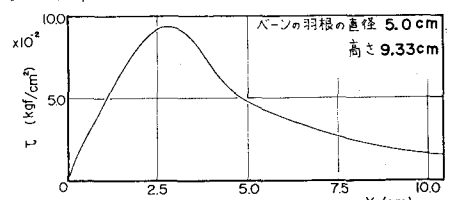


図2 せん断変位Yとせん断応力との関係

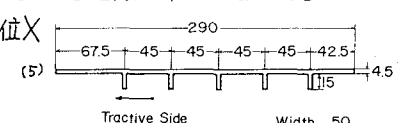


図3 履帶モデル

傾斜荷重によってトリムが発生する。さて、偏心荷重が作用したときの履帶前端の接地圧 P_f および後端の接地圧 P_r は次式のように表わされる。 $P_f = P(1-6e)$, $P_r = P(1+6e)$ e : 偏心率

この P_f , P_r を(3)式のPのところに代入して、前後端の沈下量は、それぞれ次式のように表わされる。

$$S_{Af} = \alpha P_f^{\nu} + \beta L^m P^n$$

$$S_{Ar} = \alpha P_r^{\nu} + \beta L^m P^n$$

(7)

7. 各エネルギーの算出 E_2 は履帯後端の沈下量 S_{Ar} の深さまで貫入させるエネルギーに等しいとする⁴⁾ クローサ高さ H を考えて、 $S_{Ar} < H$ より小さいときは、 E_2 は生じないものとする。したがって、 E_2 は(5)式を用いて次式のように算出できる。 $S_{Ar} \leq H$ のとき $E_2 = 0$ $S_{Ar} > H$ のとき $E_2 = 2BD(1-S)E_p = 2BD(1-S)(S_{Ar}-H)^d$ (8) E_3, E_6 は(4)式を用いて、それぞれ次式のように算出できる。

$$\begin{aligned} SD \leq Y_r \text{ のとき } E_3 &= 2B \int_0^D E_p dx = 2BC_1(SD)^{d+1}/S(d+1) & E_6 &= 4H \int_0^D E_p dx = 4HC_1(SD)^{d+1}/S(d+1) \\ SD > Y_r \text{ のとき } E_3 &= 2BC_1 Y_r^{d+1}/S(d+1) + 2BC_2/S(d+1) \cdot \{(SD)^{d+1} - Y_r^{d+1}\} + 2BK(D - Y_r/S) & E_6 &= 4HC_1 Y_r^{d+1}/S(d+1) + 4HC_2/S(d+1) \cdot \{(SD)^{d+1} - Y_r^{d+1}\} + 4HK(D - Y_r/S) \end{aligned} \quad (9)$$

φ 材に適用するためには、形式的に次式のように定義される γ_f を(9)式に掛けねばよい。

$$\gamma_f = (\gamma_{max} + \rho \tan \varphi) / \gamma_{max} \quad \gamma_{max}: ベーン試験より求まる最大せん断応力 \quad (10)$$

E_5 は車体に付着した試料土と自然に堆積した試料土の間には γ_f が働くものとして、次式のように算出できる。

$$S_{Ar} \leq H \text{ のとき } E_5 = 0 \quad S_{Ar} > H \text{ のとき } E_5 = 4 \int_0^{D(1-S)} \frac{\gamma_f(S_{Ar}-H)+(S_{Ar}-H)}{2} D dw = 2\gamma_f D^2(1-S)(S_{Ar}+S_{Ar}-2H) \quad (11)$$

したがって、(1)、(2)式と(8)～(11)式を用いて T_f ～ E_f を算出できる。

8. 解析例 以上 の 解 析 法 を 用 い て、偏心率 ϵ を $0.0, 0.05, 0.10, 0.15$ 、

接地圧 P を $0.01, 0.03, 0.05, 0.08, 0.10 \text{ kgf/cm}^2$ 、スリップ率 S を 1.0 より 90% まで 12通りとかえて解析を行なった。図4にスリップ率とけん引力の関係を示す。この地盤で図3に示す履帯モデルを使用した場合、最適接地圧は 0.05 kgf/cm^2 である。スリップ率 30% までは、けん引力が急増するが、その後はほとんど増加しない。実際の履帯式車輌は、スリップ率 30% において最大けん引力が発揮できるものと考えられる。最適接地圧より高い接地圧では、 E_2, E_5 が大きくなつて、急激にけん引力が減少し、 0.10 kgf/cm^2 では、けん引力が発揮できない。なお、偏心率の影響は、ほとんどみられなかつた。次に、図5にスリップ率と各エネルギーの関係を示す。 E_3 はスリップ率とともに、直線的に増加する。一方、 E_4 はスリップ率 20% までは、直線的に増加するが、その後は直線的に減少する。接地圧 0.05 kgf/cm^2 では、沈下量がクローサ高さよりも小さいので、 E_2, E_5 はほぼ 0 であった。

9.まとめ 履帯式車輌の走行性を判定する方法として、エネルギー解析を試みた。従来の C 材に加えて φ 材にも拡張可能となつたので、任意の地盤に対して平板載荷試験、ベーン試験、履帯モデルのけん引試験から得られたせん断・沈下特性のデータを用いて、偏心率、接地圧、スリップ率が与えられたとき、けん引力を推定できるようになった。今回の解析では、 φ が小さく、その影響がほとんどみられなかつたが、エネルギー解析により、種々の φ 材に対してもけん引力特性を明らかにする所存である。

参考文献 1) 室達朗、櫻明潔、古田真二、赤坂雄司：超軟弱地盤上の履帯式作業車の牽引力、土木学会第37回年次学術講演会、3, pp.475-476, 1982

2) 空連朗、櫻明潔：超軟弱地盤における履帯式車輌の走行性能、愛媛大学工学部紀要、10巻2号, pp.329-338, 1983

3) R.N. Yong, H. Elmamlouk and L. Della-moretta: Evaluation and prediction of energy losses in track-terrain interaction, J. of Teramechanics, Vol.17, No.2, pp.79-100, 1980

4) 室達朗、R.N.Yong: 履帯式雪上車の走行性－積雪面走行時のエネルギー解析－、雪氷、42, 2, pp.33-40, 1980

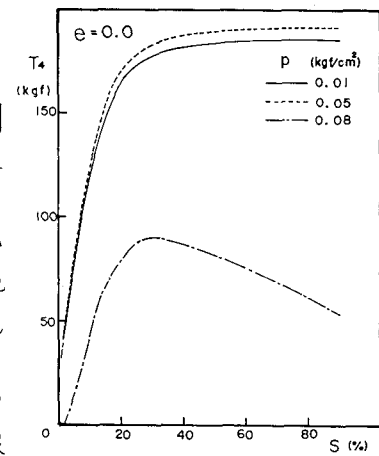


図4 スリップ率 S とけん引力 T_f の関係

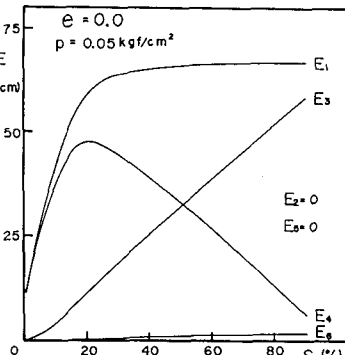


図5 スリップ率 S と各エネルギー E の関係